

不規則外力による多自由度系の応答 - その 2

京都大学 工学部 正員 山田善一
 京都大学 工学部 正員 〇竹宮俊和

§. 1 まえがき

多自由度系構造物において、ある外的条件下で、隣相った2つの振動モードの固有振動数が接近した際、構造物の応答は、いかなる様相を呈するか、また、減衰項が座標変換によっても対角化できないとき、これによる応答への効果はいかなるものかと追究すると共に、非定常入力仮定の下での構造物応答を確率論的に評価しようとするものである。

§. 2 解析法

多自由度系構造物の運動方程式

$$M\ddot{X} + (K + iC)X = F \quad (1)$$

において、今、減衰項が次の3種類の形を採るとするならば

$$C = 2\beta M \quad (2)$$

$$C = 2\beta' M^{1/2} R^{1/2} M^{1/2} \quad (3)$$

$$C = 2\beta^* K \quad (4)$$

式(1)は、各次振動モードに分解され、振動モード間のクロス・パワーは

$$S^X = H S^F H^* \quad (5)$$

となる。更に、各質点について変換し直せば

$$S^X = V H V^* S^F V H^* V^* \quad (6)$$

一方、減衰項が直交モード座標で対角化できないときは、応答変位方向の座標を用いたリセパランスを採用することにより、構造物応答パワーは

$$S^X = \alpha S^F \alpha^* \quad (7)$$

結局、(6)式あるいは(7)式から、多自由度系構造物応答の分散は

$$\sigma_x^2 = \int_0^\infty S^X d\omega \quad (8)$$

§. 3 数値計算および考察

数値計算対象モデルとしては、理想化した10質点系のつり橋タワー・ピラー系を採用している。まず、系の動的な特性として、モード解析を前提のもとに各次振動モード間のクロス・パワーの系への影響を調べるとき、外力パワーを白色雑音と仮定してもさほど問題とならないであろう。この結果は、図1に示す。これからは、系の固有振動数が、ある振動モード間で接近した場合、接近モードがほぼ同一位相で入っているが、固有振動数が十分分離している状態では、それらは at random に入っていることが観察される。一般によく用いられる速度応答スペクトルより簡便された2乗平均値応答は、各次振動モードの direct 効果のみを考慮したもので、従って、系の固有振動数が十分分離されたときのみに相当する応答量を示すことになる。

次に、減衰項が対角化できないときの、従って、振動モード間の連成運動が生ずる場合の系の振幅特性・位相特性を描いたものが図2、図3である。振幅特性においては、一般に

減衰が小さいと低次振動モードが大きく現われ、更に各質点については、タワー頂部近くでは高次振動モードが、タワー中央部では低次振動モードが顕著に出てくる。ヒール近くになると、再び高次振動モードが現われて、ヒールの回転は減衰が大きくなると2次モードが誘引されていることが分かる。しかしながら、減衰項が対角化できないために、1次と2次振動モードが接近したとき、それらの間の連成振動が生ずる環境はよく観察される。さて、位相特性の図からは、1次モードと2次モードの接近は図3において、位相差はほぼ0あるいは 2π と読み取れ、十分離れた固有振動数においては、位相差は π と出ている。このようなモード間の位相差は、柔の応答評価において考慮されるべきではないであろう。

最後に、非定常外力を受け構造物の非定常応答を計算したものが図6である。外力としては、前回の講演視察に記載したものを採用している。これらの統計諸量を用いて、構造物の安全性を評価していくことは可能である。

数値計算は、いずれも京都大学計算センター KDC-II による。

Notations:

- M 質量マトリクス
- K 剛性マトリクス
- C 減衰マトリクス
- F 不規則外力
- X 応答値
- Y 直交モード座標
- M 直交モード座標の標準化連立微分方程式
- ✓ モードベクトル
- ✗ 一般座標のシフトマトリクス
- S^F 外力パワー・スペクトル
- S^X 応答パワー・スペクトル

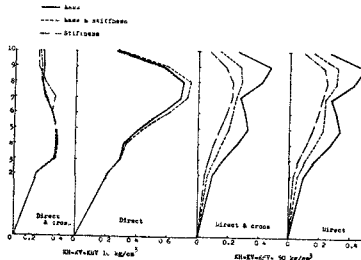


Fig. 1 Root-Mean Square Response

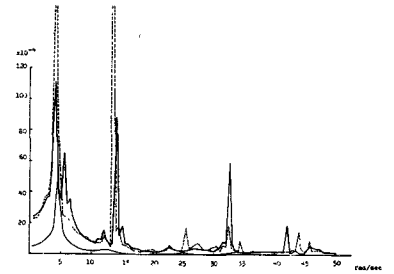


Fig. 2 Amplitude Characteristics Point 6

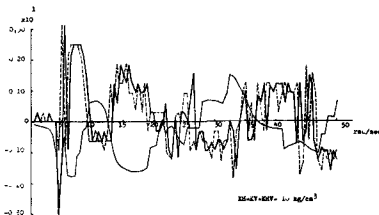


Fig. 3 Phase Characteristics Point 8

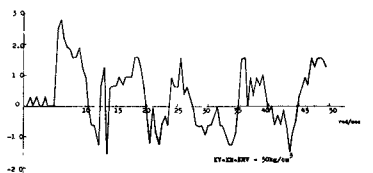


Fig. 4 Phase Characteristics Point 6

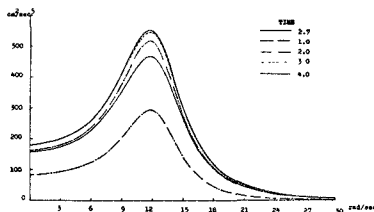


Fig. 5 Power Spectral Density of Input Acceleration

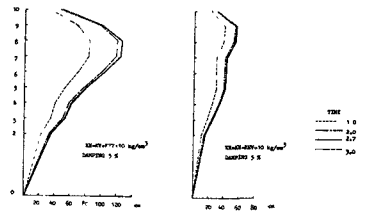


Fig. 6 Mean Square Response of Displacement